

... WHITE PAPER ...

تحديد تقنية الألواح الشمسية المثلثي
للمملكة العربية السعودية

مقارنة الأداء





فهرس المحتويات

قائمة الأشكال	2 ◀
قائمة الجداول	
خلاصة	4 ◀
1. مقدمة	5 ◀
2. نظرة عامة وسياق الدراسة	7 ◀
2.1 دور التطور والتقدم في تقنيات الألواح الكهروضوئية في نمو الطاقة المتجددة	
2.2 إمكانات الطاقة الشمسية في المملكة العربية السعودية	
2.3 الظروف الجوية في المملكة العربية السعودية وتأثيرها على التوليد من الطاقة الشمسية	8 ◀
3. منهجية الاختبار	14 ◀
3.1 فحص قيم القياس من حيث الدقة	16 ◀
3.2 تحليل الأداء	
4. موقع الاختبار وبيانات الأرصاد الجوية	17 ◀
5. نتائج الأداء والتحليل	19 ◀
5.1 الكفاءة	20 ◀
5.2 الإنتاجية النوعية	22 ◀
5.3 معامل أداء اللوح	23 ◀
5.4 متغيرات التحسين	25 ◀
6. الخلاصة والنتائج	26 ◀
6.1 النتائج	
6.2 التداعيات والآثار	27 ◀
7. المراجع	28 ◀

قائمة الأشكال



◀ الشكل 7 ▶

موقع الاختبار على خريطة برنامج Pvsyst

18 ◀

◀ الشكل 1 ▶

توقعات الاستطاعة التراكمية للطاقة الشمسية الكهروضوئية في المملكة العربية السعودية من عام 2024 إلى عام 2030.

5 ◀

◀ الشكل 8 ▶

بيانات حالة الطقس الشهرية وفقاً لبرنامج Pvsyst

19 ◀

◀ الشكل 2 ▶

الإمكانات الكهروضوئية في المملكة العربية السعودية

8 ◀

◀ الشكل 9 ▶

كفاءة عينات الألواح الكهروضوئية لأشهر [1] يوليو (تموز), [2] أغسطس (آب), [3] سبتمبر

20 ◀

◀ الشكل 3 ▶

منذني التيار والجهد للألواح كهروضوئية بعضها مغطى بالغبار وبعضاها نظيف في وقت الظهيرة

9 ◀

◀ الشكل 10 ▶

الإنتاجية النوعية لشهر أغسطس (آب)

22 ◀

◀ الشكل 4 ▶

الضياعات الناتجة من تراكم الغبار لمختلف التقنيات الكهروضوئية بعد التعرض لظروف موسمية قوية لمدة 30 يوماً

10 ◀

◀ الشكل 11 ▶

معامل الأداء لأشهر [1] يوليو (تموز), [2] أغسطس (آب), [3] سبتمبر (أيلول)

24 ◀

◀ الشكل 5 ▶

العلاقة بين درجة الحرارة والقدرة لأنواع الثلاثة من الألواح الكهروضوئية

13 ◀

◀ الشكل 6 ▶

نتائج مواقع الاختبار المختلفة لشركة

17 ◀

TÜV Rheinland Solar GmbH

قائمة الجداول

قائمة المعادلات

المعادلة 1

$$P = P_{stc} * [1 + \alpha * (T - T_{stc})] \quad 12 \blacktriangleleft$$

المعادلة 2

$$\eta_{operational} = \frac{\sum_{i=0}^n (P_{mpp,measure,i} \cdot t_{sample})}{\sum_{i=0}^n (G_{PoA} \cdot t_{sample}) \cdot A_m} \quad 14 \blacktriangleleft$$

المعادلة 3

$$EY_{spec} = \frac{\sum_{i=0}^n (P_{mpp,measure,i} \cdot t_{sample})}{P_{max}} \quad 15 \blacktriangleleft$$

المعادلة 4

$$MPR = \frac{\sum_{i=0}^n (P_{mpp,measure,i} \cdot t_{sample})}{\frac{P_{max,Label}}{\sum_{i=0}^n (E_{measure,i} \cdot t_{sample})}} \quad 15 \blacktriangleleft$$
$$1000 \frac{W}{m^2}$$

الجدول 1

6 خصائص عينات الاختبار بأدجام رقائق وایفرر (Wafer), وقيم مختلفة لمعامل ثنائي الوجه (Bifaciality), وتقنيات مختلفة للعينيات الثلاث

الجدول 2

12 معامل الحرارة ومعدل انخفاض استطاعة الخرج (%) للعينيات الثلاث

الجدول 3

21 كفاءة الألواح الكهروضوئية لأشهر يونيو, أغسطس وسبتمبر

الجدول 4

22 الإنتاجية النوعية لشهر أغسطس

الجدول 5

25 الجدول معامل أداء العينيات لأشهر يونيو, أغسطس

الجدول 6

26 التحسن في الكفاءة, الإنتاجية, ومعدل أداء اللوح

خلاصة

تلخص هذه الورقة البحثية ثلاثة أشهر من نتائج الاختبارات الميدانية لثلاثة أنواع من الألواح الكهروضوئية في موقع اختبار خارجي لشركة HÜT Solar GmbH في مدينة ثول في المملكة العربية السعودية. تهدف الدراسة إلى مقارنة أداء إنتاجية الطاقة للألواح في ظل الظروف القاسية. تم توصيل الألواح التي تم الإشارة لها بـ 6#، 7#، 9# مع دسات عالية الدقة وأدوات لجمع البيانات بشكل مستمر ومتواصل

المحددة الرئيسية التي تم قياسها وحسبها هي الكفاءة، والإنتاجية النوعية، ومعدل أداء اللوح. وقد أظهرت الدراسة أن الألواح الكهروضوئية ثنائية الوجه (9#) تتمتع بأداء أعلى من الألواح الكهروضوئية أحاديد الوجه (6#) لجميع المحددات الرئيسية. وبالمقارنة بين الألواح ثنائية الوجه فإن اللوح (9#) من جينكو سولار بقدرة 0.00 واط تميز بأداء أعلى من (7#) المصنوع باس تردام رقائق الوايفر بحجم 210 مم من فورد آخر، وذلك نظراً لارتفاع معامل ثنائية الوجه وانخفاض معامل الحرارة.

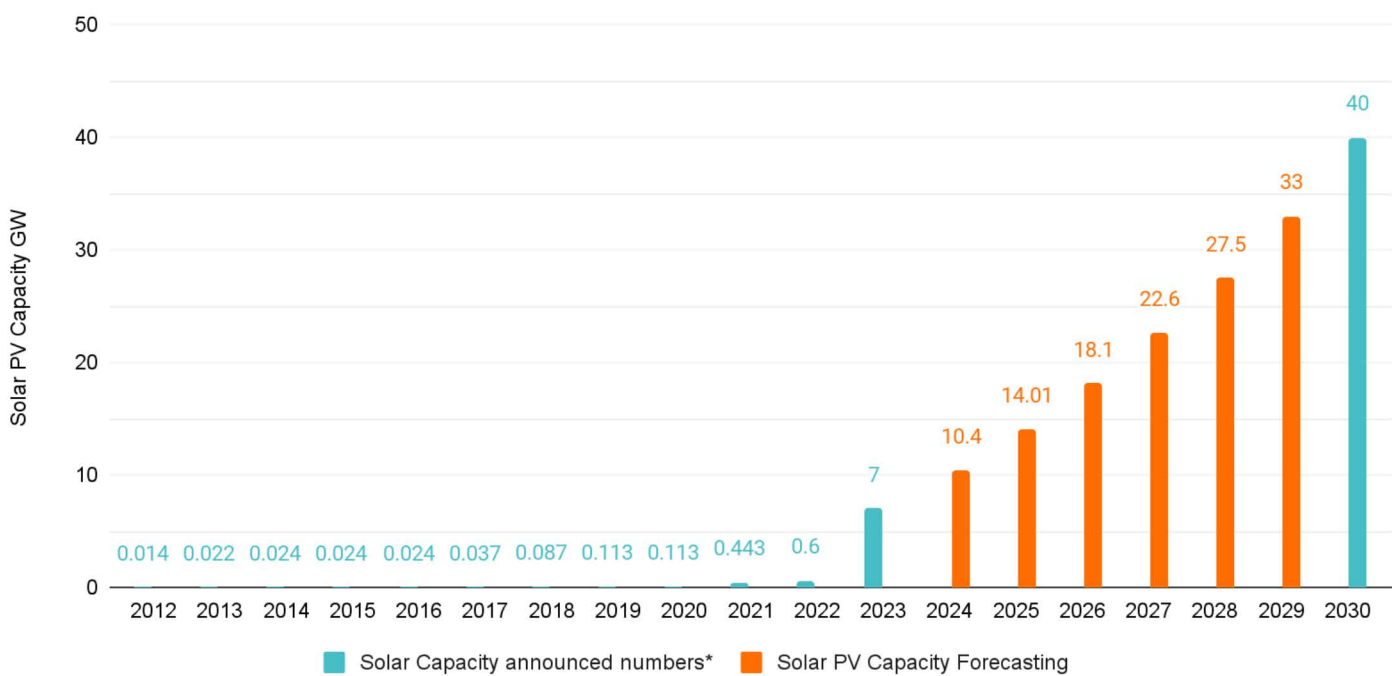
تتضمن الورقة البحثية دراسة تأثير حجم الخلية ومعامل درجة الحرارة على أداء الألواح وكفاءتها. ومع ذلك، فقد كانت الخلية الأصغر (182 مم) من جينكو سولار تتمتع بمعامل أداء وكفاءة أعلى من الخلية الأكبر (210 مم) من فورد آخر، وذلك بسبب انخفاض معامل درجة الحرارة وقدرتها الأكبر على تبديد الحرارة

اختتمنا الورقة البحثية بنتائج الدراسة العملية وبعض التوصيات المتعلقة باختيار الألواح الكهروضوئية وتركيبيها وتدسيقها بناءً على بيانات الأداء التي تمت ملاحظتها. كما يساهم هذا التقرير في تطوير عمليات البحث والتطوير في الطاقة الشمسية في المملكة العربية السعودية وخارجها.

الكلمات المفتاحية: الألواح الكهروضوئية، الإنتاجية، الأداء في الظروف الخارجية، الظروف المناخية القاسية، تحليل يعتمد على المقارنة، الكفاءة، الإنتاجية النوعية، معدل أداء الألواح، تجميع البيانات، بيانات المحاكاة، اختبار الألواح الكهروضوئية، الطاقة الشمسية، حجم الخلية، معامل الحرارة.

1. مقدمة

ضمن أهداف رؤية السعودية 2030، وضعت المملكة هدفاً لزيادة حصص الطاقة الشمسية من إجمالي الكهرباء المولدة لـ 7 جيجاواط مع نهاية عام 2023 و 40 جيجاواط بحلول عام 2030.



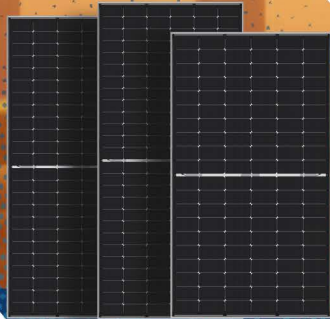
الشكل (١): توقعات الاستطاعة التراكمية للطاقة الشمسية الكهروضوئية في المملكة العربية السعودية من عام 2024 إلى عام 2030.
المصدر: قاعدة بيانات سولارابيك

ولتحقيق هذه الأهداف الطموحة، بعد اختيار التقنية شمسية للأفضل لتحمل الظروف المناخية القاسية أمرًا بالغًا في الأهمية.

نستعرض في هذه الورقة البحثية نتائج دراسة ميدانية أجراها مركز TÜV Rheinland Solar GmbH. إذ قارنت بين ثلاثة أنواع مختلفة من الألواح الكهروضوئية في ظروف حقيقة في مدينة ثول وهي مدينة صناعية تقع غرب المملكة العربية السعودية. تم اختيار الألواح الكهروضوئية التي تم اختبارها في هذه الدراسة على وجه التحديد بناءً على مدى ملائمة هذه الألواح للظروف البيئية وإمكانية تطبيقها على مشاريع الطاقة الشمسية واسعة النطاق.

ركز التحليل على:

▪ كفاءة التشغيل ▪ الإنتاجية النوعية ▪ معدل أداء اللوح



تقدم هذه الدراسة نظرة مفيدة عن كيفية عمل الألواح الكهروضوئية في الواقع، وتساعدنا على معرفة المزيد عن قدرة الطاقة الشمسية في مناخ مثل مناخ السعودية.

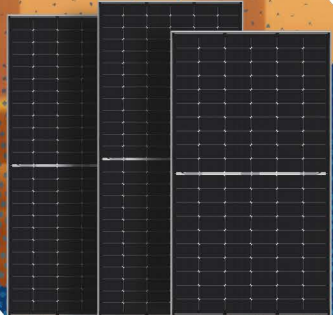
في هذه الدراسة، قارنا ثلاثة ألواح كهروضوئية مختلفة. تختلف هذه الألواح في حجم الرقائق (الوايفر) ومعامل ثنائية الوجه والتقنية. كما هو موضح في الجدول (ا):

الجدول (ا): خصائص عينات الاختبار بأحجام رقائق وايفر، وتقنيات مختلفة (Bifaciality)، وقيم مختلفة لمعامل ثنائية الوجه، (Wafer)

العينات	رقم الطراز	النوع	معامل ثنائية الوجه	قياس مربع الوايفر	التقنية
العينة #6	JKsM555N-72HL4-V	أحادي الوجه	—	182 mm	توب كون من نوع N
العينة #7	—	ثنائي الوجه	70±5%	210 mm	بيرك من نوع P
العينة #9	JKM550N-72HL4-BDV	ثنائي الوجه	80±5%	182 mm	توب كون من نوع N

لقد افترضنا أن الألواح ثنائية الوجه ستنتج طاقة أعلى من الألواح أحادية الوجه نظرًا لقدرتها على التقاط إشعاع إضافي من الوجه الخلفي. وافتراضنا أن الرقائق الأكبر حجمًا ستنتج طاقة أقل من رقائق الوايفر الأصغر حجمًا بسبب تأثيرها الشديد بالضياء الحراري والضغط الميكانيكي. وأن الألواح التي تم تصنيعها بتقنية التوب كون من نوع N ستكون كفاءتها أعلى من بيرك من نوع P.

سيتم عرض نتائج هذه المقارنة ومناقشتها في الأقسام التالية. نهدف من مشاركة هذه النتائج لدعم أصحاب المصالح في قطاع الطاقة الشمسية ومساعدتهم على اتخاذ قرار مبني على البيانات، مما يؤدي في النهاية إلى الاستخدام الأمثل للطاقة.



2. نظرة عامة وسياق الدراسة

2.1 دور التطور والتقدم في تكنيات الألواح الكهروضوئية في نمو الطاقة المتجددة

لقد تطورت التكنيات الكهروضوئية بسرعة على مدى العقود الماضية، مع تحسينات في الكفاءة والتكلفة والموثوقية والممتانة. كما سمح تطور التكنيات الكهروضوئية بتنويع التطبيقات والأسواق من محطات الطاقة على نطاق المراافق إلى أنظمة التوليد الموزعة. علاوة على ذلك، أدى تطور التكنيات الكهروضوئية إلى ظهور حلول جديدة ومبتكرة بإمكانها التغلب على بعض التحديات والقيود التي تواجه الأنظمة الكهروضوئية التقليدية.

تعد الحاجة إلى تقليل الكلفة المتوازنة لتوليد الكهرباء (LCOE) لمشاريع الطاقة الشمسية أحد العوامل الرئيسية لتطوير التكنيات الكهروضوئية والتي تتأثر بالعديد من العوامل كتكلفة رأس المال، وتكلفة التشغيل والصيانة، ومعدل الأداء، ومعدل التدهور، وعمر الخدمة. تتمتع التكنيات الكهروضوئية المختلفة بمزايا وعيوب مختلفة من حيث هذه العوامل وبالتالي تتطلب أساليب مختلفة لتحسين الكلفة المتوازنة لتوليد الكهرباء (LCOE).

على سبيل المثال، تستخدم الأنظمة الكهروضوئية ثنائية الوجه جنبي الخلية الشمسية لامتصاص الإشعاع الشمسي. في حين أن الأنظمة الكهروضوئية أحادية الوجه تستخدم جانباً واحداً فقط لالتقاط الإشعاع الشمسي. يمكن للوجه الخلفي في الأنظمة الكهروضوئية ثنائية الوجه التقاط إشعاع إضافي ينعكس من الأرض أو الأسطح الأخرى مما يزيد من إنتاج الطاقة بنسبة تصل إلى 30% ويقلل من الكلفة المتوازنة لتوليد الكهرباء بنسبة تصل إلى 16% مقارنة بالأنظمة الكهروضوئية أحادية الوجه. ومع ذلك، فإن تكاليف الأنظمة الكهروضوئية ثنائية الوجه تمتلك متطلبات تركيب وتشغيل أكثر تعقيداً من الأنظمة الكهروضوئية أحادية الوجه.

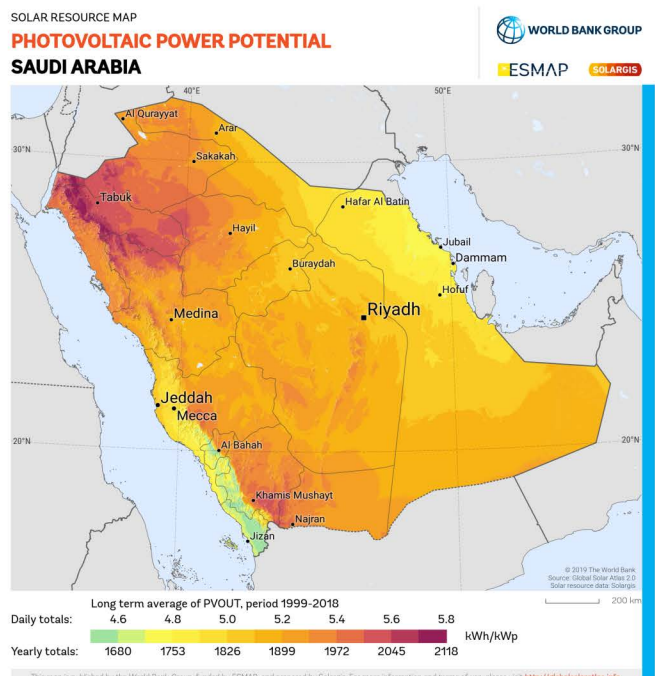
كما يمكن أن تنتج الخلية الشمسية بتقنية الـ TOPCon بجهد دائرة مفتوحة VOC أعلى، مقاومة للتسلل أقل، مقارنة مع الخلية الشمسية بتقنية الـ PERC، وهذا يزيد من قدرة وكفاءة الألواح الشمسية. بالإضافة إلى ذلك، حجم رقاائق الوايفريل يلعب دوراً هاماً في تصميم وأداء الألواح، لأنه يحدد عدد الخلية والتوصيلات البيئية وتكلفة وجودة الألواح والخلية. مثل، الرقاائق الأصغر تكون أكثر مقاومة للتشقق والتكسر بسبب الإجهاد الميكانيكي.



◀ 2.3 الظروف الجوية في المملكة العربية السعودية وتأثيرها على التوليد من الطاقة الشمسية

باعتبار أن المملكة العربية السعودية من الدول التي لديها أعلى قيم للشعاع شمسي في العالم، مما يجعلها موقعاً مثالياً للتوليد الكهربائي من الطاقة الشمسية. ومع ذلك، تواجه البلاد بعض التحديات المتعلقة بالظروف الجوية، كالعواصف الترابية، وارتفاع درجات الحرارة وانخفاض هطول الأمطار، مما قد يؤثر سلباً على أداء وموثوقية أنظمة الطاقة الشمسية الكهروضوئية.

سنناقش في هذا القسم كيفية تأثير هذه الظروف الجوية على توليد الطاقة الكهربائية من الطاقة الشمسية في المملكة العربية السعودية، وكيفية استجابة أنواع التقنيات الكهروضوئية المختلفة لها.



الشكل (٢): إمكانيات الطاقة الكهروضوئية
في المملكة العربية السعودية، المصدر: Solar GIS

◀ 2.3.1 تأثير الأتربة

التلوث بالأتربة وهو عملية يتم من خلالها ترسب الأوساخ والغبار والملوثات العضوية وغير العضوية على سطح الألواح الكهروضوئية، مما يقلل من كمية الإشعاع التي تصل للخلايا الشمسية. يمكن أن يتسبب التلوث بخسائر اقتصادية كبيرة كما يمكنه أن يقلل من الطاقة المولدة بنسبة 3-5% شهرياً أو أكثر. وهناك العديد من العوامل المؤثرة على التلوث كالظروف البيئية وخصائص الموقع ومكونات النظام وحجم جزيئات الغبار.

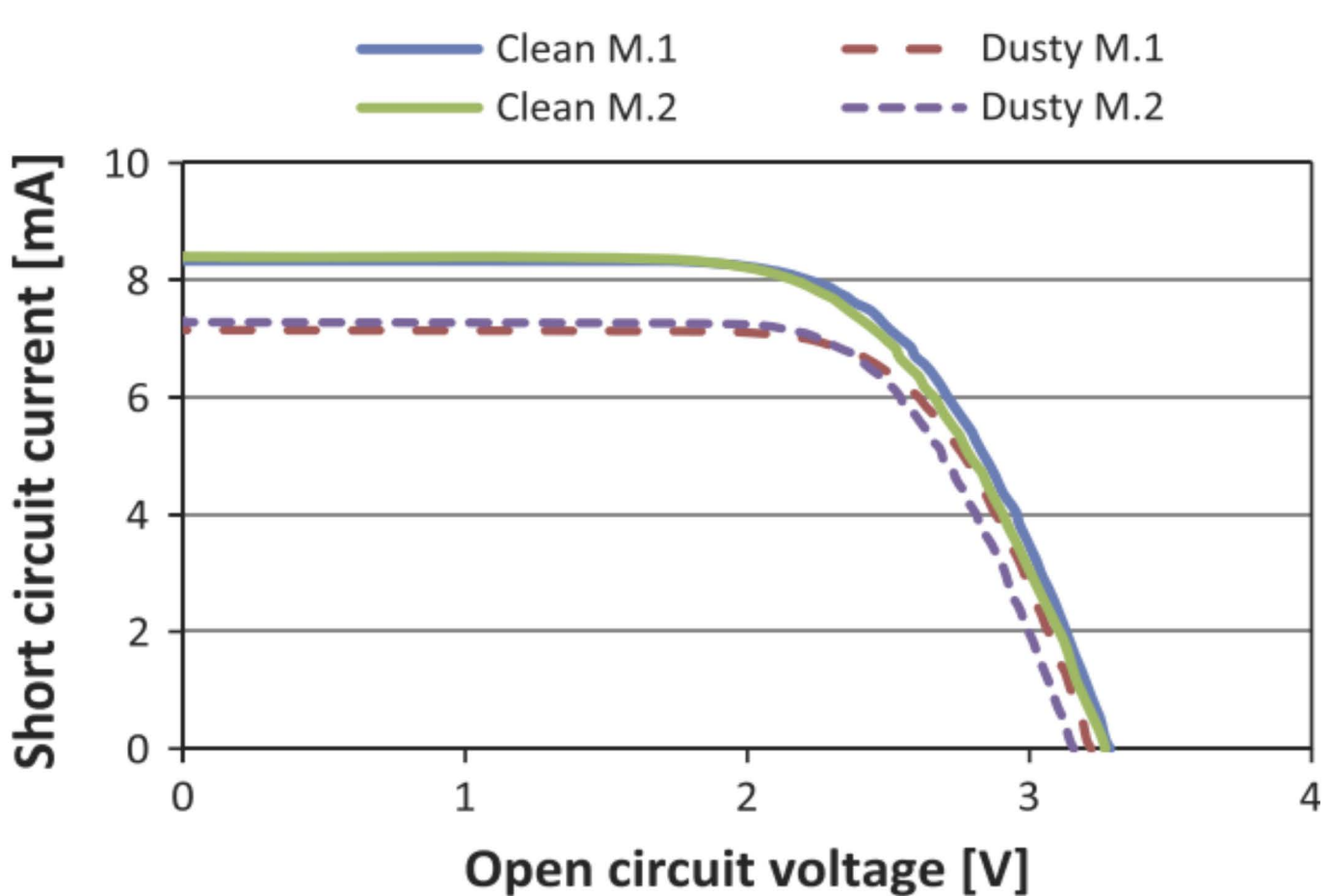
تقع المملكة العربية السعودية في بيئة قاحلة وصهراوية، مما يجعلها أكثر عرضة لترانكم الغبار على ألواح الطاقة الشمسية. يمكن أن تختلف جزيئات الغبار في الحجم والشكل والتركيب والخصائص البصرية بناءً على موقع اللوح الكهروضوئي.



يمكن أن يؤثر الغبار على أداء أنظمة الطاقة الكهروضوئية بعدة طرق:

- تغيير انتشار طيف الضوء
- التسبب بالتشكل أو الأعطال الكهربائية.
- زيادة ضياعات الانعكاس.
- تغيير الأداء الحراري للوح الكهروضوئي.
- جبب أشعة الشمس.

يوضح الشكل (٣) كيفية تأثير الأوساخ على منحنيات (التيار-الجهد) للوح متسخ ونظيف وقت الظهيرة.



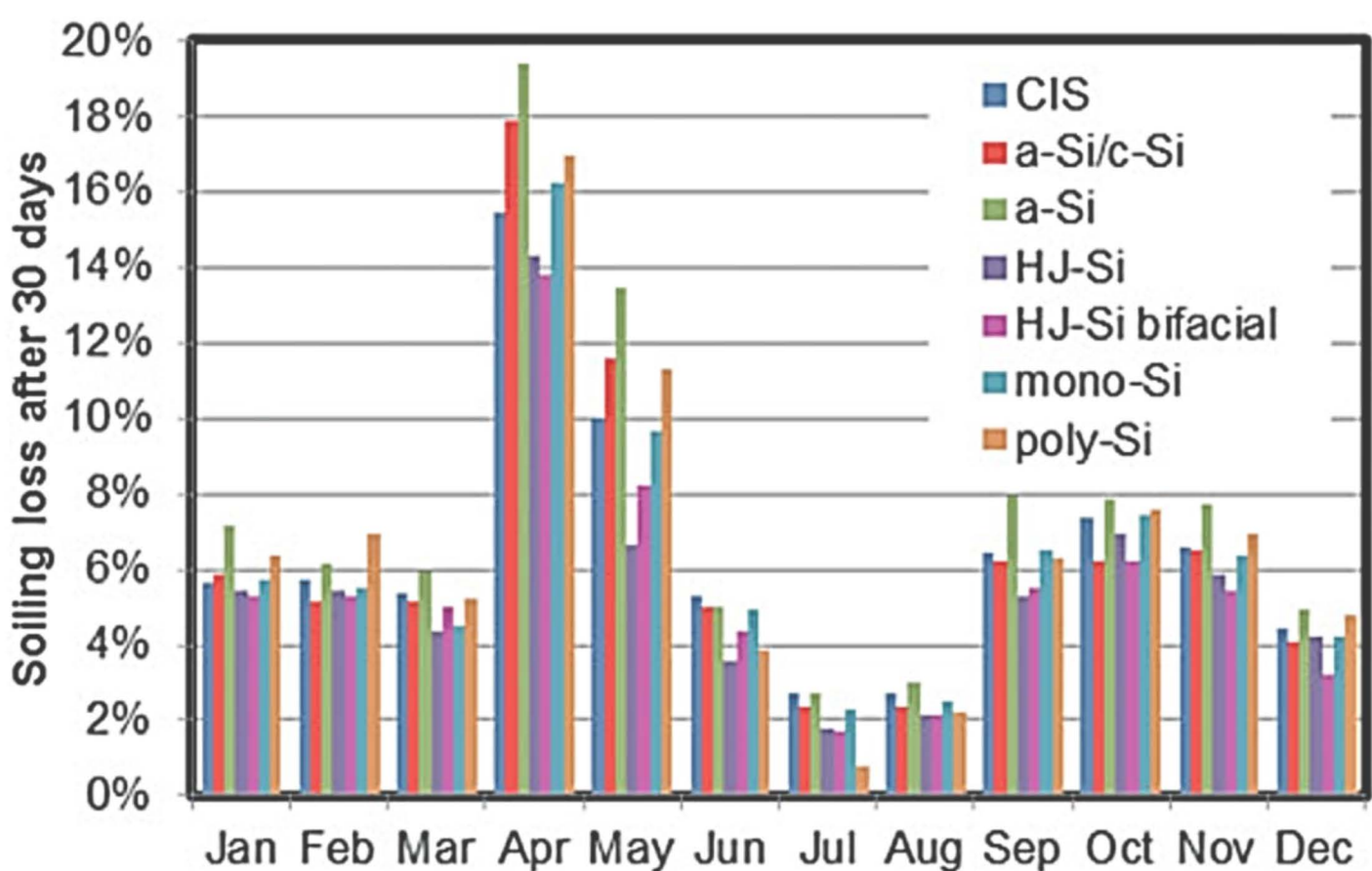
الشكل (٣): منحنيات (التيار - الجهد) للألوح المتسخ والنظيف عند الظهيرة.

Reprinted from Solar Energy, 107, Said, Syed A.M., et al., Fundamental studies on dust fouling effects on PV module performance, 332., Copyright (2014), Elsevier



يمكننا رؤية من الشكل 3 أن اللوح الكهروضوئي النظيف ينبع تياراً وجهداً أعلى من اللوح الكهروضوئي المتسخ، وبالتالي قدرة وكفاءة أعلى.

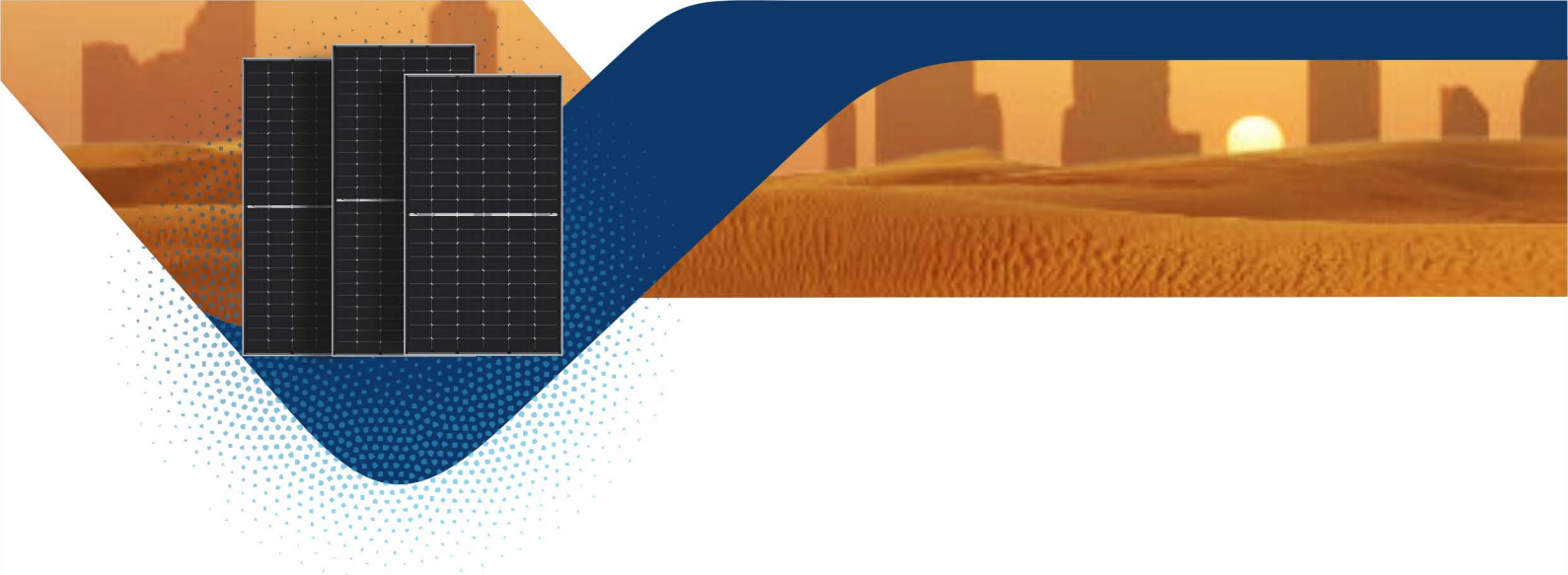
يؤثر نوع الخلية الكهروضوئية على مدى تأثير اللوح بالتلوث. لكل تقنية كهروضوئية خصائصها واستجابتها للغبار على سطح اللوح. مثلاً، بعض التقنيات الكهروضوئية تكون أكثر حساسية للغبار في بعض الأطوال الموجية من غيرها، وهذا يجعلها أكثر أو أقل تأثراً بالتلوث.



الشكل (٤): الضياعات الناتجة من الأتربة لمختلف تقنيات الألواح الكهروضوئية بعد تعرضاً لها للعوامل الخارجية لمدة ٣٠ يوماً.

المصدر: Optimized Cleaning Cost and Schedule Based on Observed Soiling

Conditions for Photovoltaic Plants in Central Saudi Arabia



يظهر الشكل (4) ما يلي:

- الضياعات الشهرية بسبب تراكم الأتربة لسبعة تقنيات من أنظمة الطاقة الشمسية {نطاس إنديوم سيليسيوم، CIS والسيلبيكون غير المتبلور / السيلبيكون البلوري ، a-Si/c-Si} والسيلبيكون غير المتبلور ، a-Si) والسيلبيكون بتقنية الوصلة غير المتجانسة (HJ-Si) والسيلبيكون بتقنية الوصلة غير المتجانسة ثنائية الوجه (HJ-Si bifacial) والسيلبيكون أحدى البلورة (mono-Si) والسيلبيكون متعدد البلورات (poly-Si) بالنسبة المئوية لمدة عام.
- تتغير قيم الضياعات بفعل الأتربة وفقاً للموسم لجميع التقنيات، فقد شُكِّلت الضياعات حوالي 16% بعد تعرضها للهواء لمدة 30 يوماً وذلك في أكثر الأشهر انتشاراً للأتربة وهو شهر نيسان (أبريل)، مقارنة بنسبة 2% وهو أقل الأشهر انتشاراً للأتربة وهو شهر تموز (يوليو).
- تختلف الضياعات بفعل الأتربة وفقاً لنوع التقنية، فالسيلبيكون غير المتبلور (a-Si) له أكبر نسبة ضياعات والسيلبيكون بتقنية الوصلة غير المتجانسة ثنائية الوجه (HJ-Si bifacial) له أقل نسبة ضياعات.
- تعتمد ضياعات الأتربة على خصائص المواد، وخصائص السطح، وتصميم اللوح في كل تقنية، والتي تحتاج إلى مزيد من البحث والتحقق.

◀ 2.3.2 تأثير درجة حرارة الأجهزة المحمولة المرتفعة

تعد درجة الحرارة المحيطة أحد العوامل الرئيسية التي تؤثر على أداء وكفاءة الألواح الشمسية، إذ تؤدي درجات حرارة المحيطة المرتفعة إلى تقليل الجهد الكهربائي واستطاعة الخرج للوح الشمسي، فضلاً عن تسريع التقادم وترابع الأداء مع الزمن. ويحدث ذلك لأن مقاومة المواد شبه الموصلة (أنصاف النواقل) في خلايا الألواح الشمسية تزداد بارتفاع درجة الحرارة، مما يؤدي إلى انخفاض كفاءة التدوير.

تعد المملكة العربية السعودية إحدى أكثر المناطق في العالم ارتفاعاً لدرجة الحرارة، فمن المهم أن نفهم كيف تؤثر درجات الحرارة المحيطة المرتفعة على أداء الأنواع المختلفة من الألواح الشمسية.

يمكن قياس تأثير درجة الحرارة على كفاءة الألواح الشمسية من خلال معامل درجة الحرارة، ويشير هذا المعامل إلى مدى تغير قدرة اللوح الشمسي مع تغير درجات الحرارة. ويتم التعبير عنه عادةً بنسبة مئوية لكل درجة مئوية (1% درجة مئوية). ويمكن القول أن اللوح الشمسي ذو معامل درجة الحرارة $-0.5 \text{--} 0.5$ درجة مئوية سيفقد 0.5% من القدرة الإلستمية لكل درجة مئوية تتعدي الـ 25 درجة مئوية وهي درجة درارة الظروف المعيارية لقياس كفاءة الألواح الشمسية.



قمنا في هذه الدراسة بحسب مقدار انخفاض استطاعة الخرج (%) للعينات الثلاث، والقدرة عند درجات حرارة مختلفة باستخدام المعادلة (١) :

$$P = P_{stc} * [1 + a * (T - T_{stc})] \quad \text{المعادلة (١)}$$

حيث:
 القدرة عند درجة حرارة معينة P
 القدرة عند الشروط المعيارية STC P_{stc}
 معامل القدرة بالنسبة لدرجة الحرارة a
 درجة حرارة سطح اللوح T
 درجة حرارة الشروط المعيارية 25 درجة مئوية T_{stc}

يبين الشكل (٤) مثلاً لتأثير تراكم الأوساخ على مختلف تقنيات الألواح الكهروضوئية بعد تعرضها للعوامل الخارجية لمدة 30 يوماً في المملكة العربية السعودية.

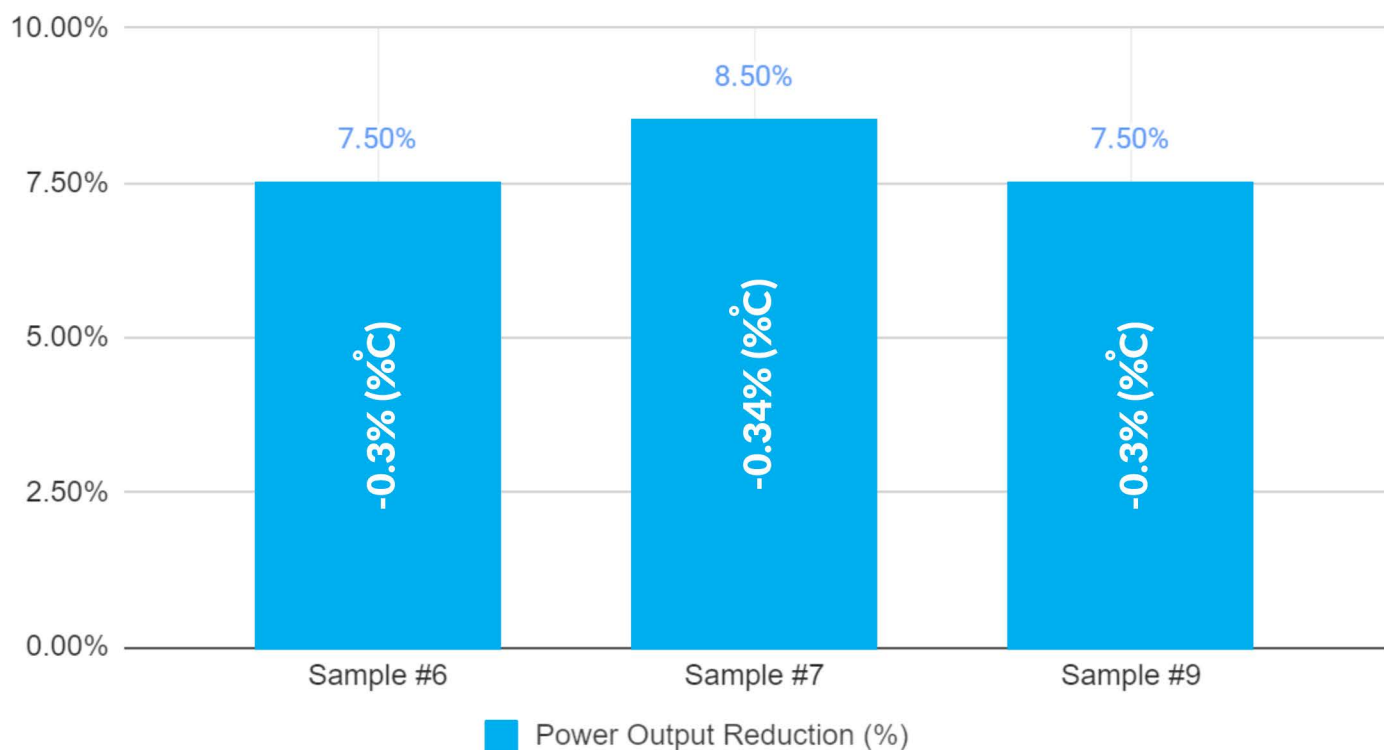
الجدول (٢): معامل درجة الحرارة والقدرة ومعدل انخفاض القدرة (%) للعينات الثلاث:

العينات	رقم الطراز	معامل القدرة بالنسبة لدرجة مئوية (%) (درجة مئوية)	القدرة عند الشروط المعيارية (وات)	القدرة عند درجة مئوية (وات)	الانخفاض في القدرة (%)
العينة #6	JKsM555N-72HL4-V	-0.30%	555	513	7.50%
العينة #7	—	-0.34%	645	590	8.50%
العينة #9	JKM550N-72HL4-BDV	-0.30%	550	509	7.50%

يوضح الجدول السابق القدرة ومقدار الانخفاض في القدرة للعينات الثلاث من الألواح الشمسية عند 50 درجة مئوية، مقارنة بأدائها عند ظروف الاختبار المعيارية STC. يختلف معامل درجة الحرارة والقدرة للعينات الثلاث عند ظروف الاختبار المعيارية، مما يؤثر على أدائها عند درجات الحرارة المرتفعة. يشير معامل درجة الحرارة إلى مدى تغير القدرة لكل درجة مئوية زيادة أو نقصان عن درجة حرارة الظروف المعيارية.



Temperature Coefficient and Power Output Reduction (%)



الشكل (٥): العلاقة بين القدرة ودرجة حرارة الأنواع الثلاثة من الألواح الكهروضوئية.

أظهرت النتائج أن أعلى انخفاض في القدرة كان للعينة رقم 7 بمقدار (8.50%) بسبب ارتفاع معامل درجة حرارتها والبالغ (-0.34%). العينة رقم 6 والعينة رقم 9 لهما نفس معامل درجة الحرارة (-0.30%). ولكن قدرة العينة رقم 6 أعلى درجة مئوية العينة رقم 6 والعينة رقم 9. ولكن قدرة العينة رقم 6 هي أعلى من العينة رقم 9 بـ 513 واط، بينما العينة رقم 9 هي أقل بـ 550 واط وقليلًا فتبعد عن الظروف المعيارية 555 واط عند درجة حرارة 50 درجة مئوية، بينما العينة رقم 9 تبلغ 509 واط على التوالي، وتتمتع كلتا العينتين بنفس انخفاض القدرة وهو (7.50%) عند 50 درجة مئوية.

يشير تدليل نتائج الاختبار أن العينة رقم 7 هي الأكثر حساسية للتغيرات درجات الحرارة، وأن العينات رقم 6 ورقم 9 أكثر استقراراً عند درجات الحرارة المرتفعة. بناءً على الظروف البيئية والأداء المطلوب، قد تكون الألواح المختلفة مناسبة لتطبيقات مختلفة.

توضح هذه النتائج أن درجات الحرارة المحيطة المرتفعة لها تأثير كبير على كفاءة الألواح الشمسية وأن الأنواع المختلفة من الألواح الشمسية لها استجابات مختلفة للتغيرات في درجات الحرارة. لذلك من المهم مراعاة معامل درجة الحرارة عند اختيار الألواح الشمسية المناسبة ضمن الحالة المناخية للمملكة العربية السعودية.

◀ 3. منهجية الاختبار

اعتمدت منهجية الاختبار في هذه الدراسة المعايير المعترف بها دولياً، مما يخ... من إجراء تقييم صارم وموثوق لأداء الألواح الشمسية. ونذكر هنا على وجه التحديد التزام منهجية الاختبار بالمبادئ التوجيهية والمتطلبات التي دددتها اللجنة الكهروتقنية الدولية IEC والتي توفر بروتوكولات موحدة لتقييم أداء وموثوقية الألواح الشمسية.

تم إجراء الاختبار بواسطة شركة TÜV Rheinland Solar GmbH وتم تركيب ثلاثة عينات من الألواح الشمسية في موقع الاختبار الخارجي لشركة TÜV Rheinland في ثول، المملكة العربية السعودية. تم جمع البيانات الجوية والكهربائية لها باستخدام أجهزة استشعار وأدوات عالية الدقة، وامتدت فترة جمع البيانات من تموز (يوليو) إلى أيلول (سبتمبر) خلال عام 2022، مخططة بذلك ثلاثة أشهر من التشغيل في ظل الظروف المناخية القاحلة والقاسية.

تجدر أدنى مددات الأداء التي تم قياسها ودراستها لكل لوح كهروضوئي:

كفاءة التحويل: وهي القدرة الكهربائية منسوبة إلى قدرة الإشعاع الساقط على اللوح الشمسي ويعبر عنها بنسبة مئوية:

$$\eta_{operational} = \frac{\sum_{i=0}^n (P_{mpp,measure,i} \cdot t_{sample})}{\sum_{i=0}^n (G_{PoA} \cdot t_{sample}) \cdot A_m} \quad \text{المعادلة (2)}$$

كفاءة التشغيل

$\eta_{operational}$

حيث:

معلومات نقطة القدرة العظمى المقاسة (P_{mpp})

$P_{mpp, measured,i}$

توقيت العينة

t_{sample}

الإشعاع العالمي عند نفس المستوى

G_{PoA}

مساحة اللوح

A_m



- الإنتاجية النوعية: وهي القدرة الكهربائية منسوبة إلى القدرة المقاسة في ظل شروط الاختبار المعياري الداخلية، (STC) ويعبر عنها بواحدة الكيلوواط ساعة\الكيلوواط ذروة.

$$EY_{spec} = \frac{\sum_{i=0}^n (P_{mpp,measure,i} \cdot t_{sample})}{P_{max}} \quad \text{المعادلة (3)}$$

الإنتاجية النوعية	EY spec	حيث:
معلومات نقطة القدرة العظمى المقاسة (Pmpp)	Pmpp, measured,i	
توقيت العينة	t sample	
طاقة اللوح وفقاً لطبيعة المختبر أو القياسات المأخوذة في المختبر ضمن الظروف المعيارية	Pmax	

- معدل أداء اللوح: هي النسبة بين القدرة الفعلية والقدرة المثالية وفقاً لشروط الاختبار المعياري (STC) ويعبر عنها كنسبة مئوية.

$$MPR = \frac{\frac{\sum_{i=0}^n (P_{mpp,measure,i} \cdot t_{sample})}{P_{max,Label}}}{\frac{\sum_{i=0}^n (E_{measure,i} \cdot t_{sample})}{1000 \frac{W}{m^2}}} \quad \text{المعادلة (4)}$$

معدل أداء اللوح	MPR	حيث:
معلومات نقطة القدرة العظمى المقاسة (Pmpp)	Pmpp, measured,i	
توقيت العينة	t sample	
القدرة تحت شروط الاختبار المعيارية وفقاً لللوحة الإسمية للوح	Pmax, Label	
معلومات الإشعاع الشمسي المقصاص	Emeasured,i	



تمت مقارنة مددات الأداء هذه مع ورقة البيانات المقدمة من الشركات المصنعة للألومنيوم.

أُتّاحت لنا المقارنة بين البيانات المقاسة وبيانات المنتج تقييم أداء وتقادم الألواح الشمسية في ظل الظروف الفعلية. سيتم عرض نتائج وتحليل هذه المقارنة في الأقسام التالية.

3.1 فدص قيم القياس من حيث الدقة:

ولضمان موثقية ودقة البيانات التي تم جمعها، تم إجراء فحوصات شديدة الدقة للمراقبة، وتضمنت هذه العمليات فحص البيانات بحثاً عن أي تناقضات أو قيم غير طبيعية أو شاذة يمكن أن تؤثر على صحة النتائج. تمت مراجعة أية بيانات غير مؤكدة والتحقق منها ومراعتها بدقة لضمان تراهنة ورقة البيانات.

◀ 3.2 تحليل الأداء:

خضعت البيانات التي جمعناها للألواح الشمسية لتحليل أداء شامل لتقدير إنتاجية الطاقة والكفاءة التشغيلية لها، وتضمن التقييم دس اب ومقارنة مؤشرات الأداء المختلفة، مثل الإنتاجية النوعية ومعدل أداء اللوح، وذلك بهدف تقييم الأداء العام للألواح فعاليتها.

تم الاستعانة بـ**تقنيات التحليل الإحصائي** وأدوات عرض البيانات لتحديد الأنماط وال العلاقات المتباينة ضمن مجموعة البيانات، كما يقدم هذا التحليل رؤى قيمة حول خصائص الألواح الشمسية في ظل الظروف البيئية المحددة لموقع الاختبار.

تهدف هذه الدراسة إلى تقديم نتائج دقيقة وذات قيمة لتقدير أداء الألواح الشمسية وتم ذلك باستخدام منهجية اختبار قوية، تشمل إجراءات موحدة، وأدوات دقيقة، وتجميع بيانات موثوقة وفحص القيم المقاسة من حيث المتناسب والدقة بالإضافة إلى تحليل شامل للبيان.



4. موقع الاختبار وبيانات الأرصاد الجوية

تم تثبيت عينات الألواح الشمسية الثلاث ومرافقها في موقع الاختبار، والذي يتواجد في منشأة خارجية تابعة لشركة تي يو في راينلاند سولار في ثول، المملكة العربية السعودية. ويقع هذا الموقع تحديداً في «حرم جامعة الملك عبد الله للعلوم والتقنية - KAUST»، ويتميز بسهولة تضاريسه وسعة أفقه وعدم وجود ظلال من مباني أو هيكل قريبة.

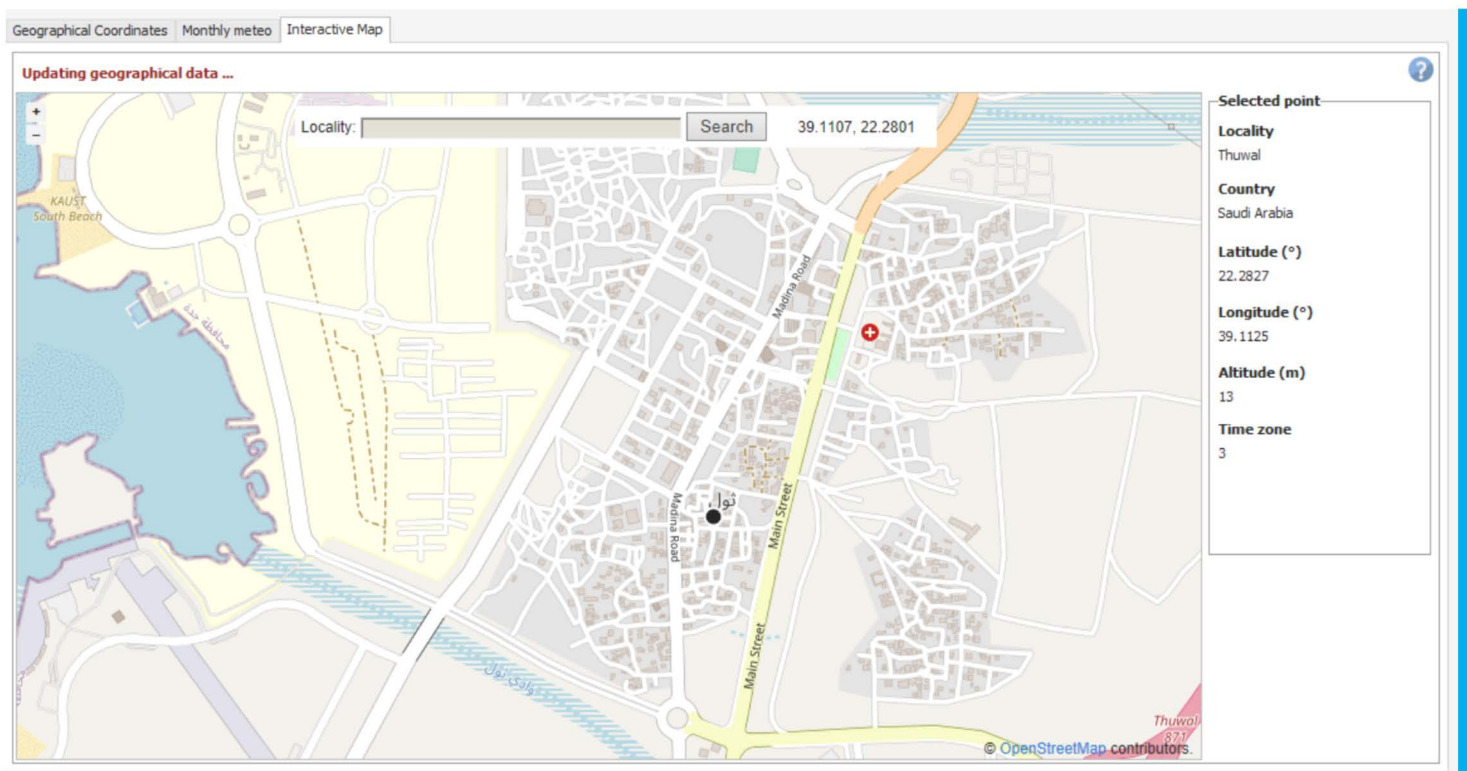
تُظهر الصورة أدناه توزيع وتخطيط الألواح الشمسية وموقع الاختبار:



الشكل (6): الموقع الخارجي لمختبر تي يو في راينلاند.

تم تثبيت الألواح الشمسية على هيكل ثابتة بزاوية ميلان 25 درجة عن المستوى الأرض بينما زاوية السماء 0 درجة مواجهة للجبوب. تم توصيل الألواح بعدادات فردية قامت بتسميل البيانات الكهربائية، مثل الجهد، والتيار، والقدرة، والطاقة. وكانت الألواح مزودة أيضاً بأجهزة استشعار تقيس درجة حرارة اللوح وكمية الإشعاع الشمسي.

يُظهر الشكل (7) أدناه موقع الاختبار على الخريطة ضمن برنامج بي في سيسٌت: Pvsyst



الشكل (7) موقع الاختبار على خريطة برنامج «بي في سيسٌت - Pvsyst»

تنمِّيَت الظروف المناخية في ثُول، المملكة العربية السعودية، بالإشعاع الشمسي المرتفع، ودرجة حرارة الجو العالية، والرطوبة المنخفضة، وانخفاض هطول الأمطار، وسرعة الرياح المعتدلة، إذ يبلغ متوسط الإشعاع الشمسي السنوي في ثُول حوالي 2200 كيلوواط ساعة/م². ويتراوح متوسط درجة حرارة المحيط السنوية فيها حوالي 28 درجة مئوية، بينما تبلغ نسبة الرطوبة النسبية السنوية حوالي 54%， وأخيراً يتراوح متوسط سرعة الرياح السنوية بها حوالي 4 أمتر في الثانية.

يوضح الشكل (8) أدنى البيانات الجوية الشهرية وفقاً لبرنامج PVsyst

Site	Thuwal (Saudi Arabia)				
Data source	PVGIS TMY 5.2				
	Global horizontal irradiation	Horizontal diffuse irradiation	Temperature	Wind Velocity	Relative humidity
	kWh/m ² /mth	kWh/m ² /mth	°C	m/s	%
January	152.5	45.4	21.0	4.39	47.9
February	160.4	47.1	24.4	3.72	54.6
March	205.1	58.0	24.9	4.39	51.6
April	226.5	60.4	28.0	3.29	50.2
May	239.4	72.9	29.9	4.46	49.6
June	237.5	69.9	31.9	3.93	54.2
July	237.6	70.4	33.2	3.82	48.3
August	226.2	74.5	33.1	3.78	52.8
September	200.9	63.8	31.3	3.96	53.6
October	190.1	55.2	29.7	3.32	55.3
November	152.1	45.8	27.0	3.33	63.1
December	140.1	44.5	24.7	3.01	63.4
Year	2368.4	707.9	28.3	3.8	53.7

الشكل (8): البيانات الجوية الشهرية وفقاً لبرنامج PVsyst

تشير البيانات الجوية إلى أن ثول تتمتع بإمكانية شمسية عالية ومناخ حار وجاف، وتعتبر هذه الظروف مفهمةً لعملية توليد الطاقة الشمسية.

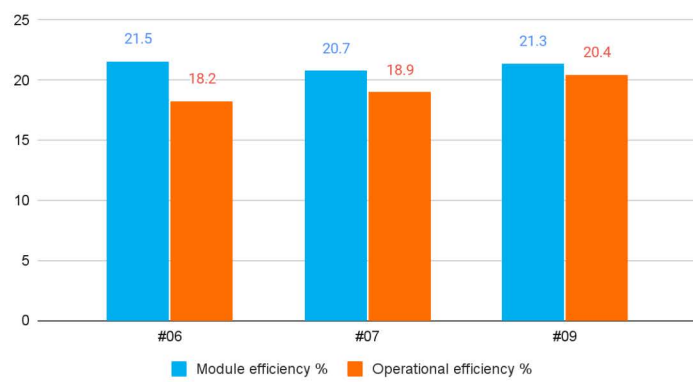
5. نتائج الأداء والتحليل

نقدم في هذا القسم معلومات الأداء والنتائج وتحليلات الألواح الكهروضوئية الثلاث لأشهر تموز (يوليو)، وآب (أغسطس) وأيلول (سبتمبر) من عام 2022. سنقوم بمقارنة الكفاءة الفعلية، الإنتاجية النوعية، ومعدل أداء اللوح لكل لوح مع ورقة المواصفات الفنية الخاصة فيه لكل شهر. سنقوم أيضًا بعرض اكتشافاتنا الأساسية ومعانٍ النتائج، مثل كيف تؤثر أمور مثل معامل ثنائية الوجه ودجم رقاقة الوايفر ونوع التقنية على أداء الألواح الكهروضوئية في الظروف المناخية القاسية.

5.1 الكفاءة

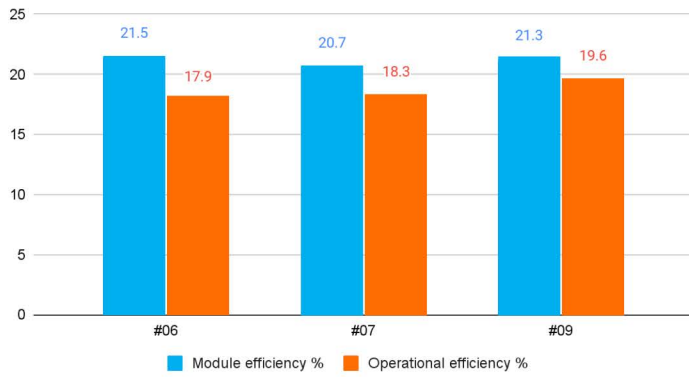
تشير الكفاءة إلى قدرة اللوح الكهروضوئي على تحويل الطاقة الشمسية إلى طاقة كهربائية. وكلما كانت قيمة الكفاءة أعلى، كلما تمكّن اللوح الكهروضوئي من إنتاج طاقة أكبر من كمية معينة من الإشعاع الشمسي.

The Efficiency of the PV samples for July 2022



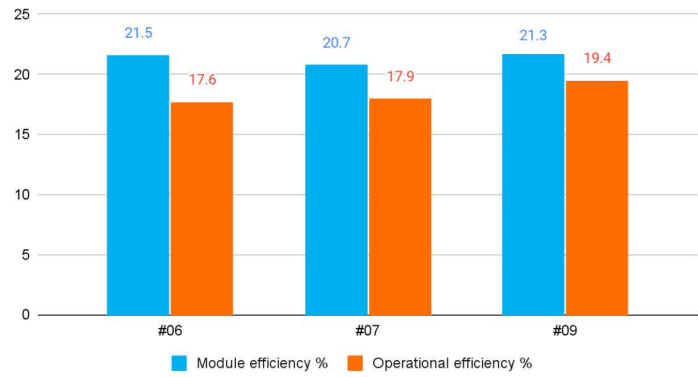
(1) كفاءة عينات الألواح لشهر يوليو (حزيران) 2022

The Efficiency of the PV samples for August 2022



(3) كفاءة عينات الألواح لشهر سبتمبر (أيلول)

The Efficiency of the PV samples for September 2022



(2) كفاءة عينات الألواح لشهر أغسطس (آب) 2022

الشكل (9): كفاءة عينات الألواح الكهروضوئية لأشهر (1) يوليو، (2) أغسطس، (3) سبتمبر



الجدول: (٣) كفاءة عينات الألواح الكهروضوئية لأشهر يوليو، أغسطس، وسبتمبر

سبتمبر		أغسطس		يوليو					
#09	#07	#06	#09	#07	#06	#09	#07	#06	
21.3	20.7	21.5	21.3	20.7	21.5	21.3	20.7	21.5	كفاءة اللوح وفقاً للوحدة الإسمية %
19.4	17.9	17.6	19.6	18.3	17.9	20.4	18.9	18.2	قيمة كفاءة اللوح الفعلية %

بعد تحليل البيانات في الشكل (٩) والجدول (٣) وجدنا ما يلي:

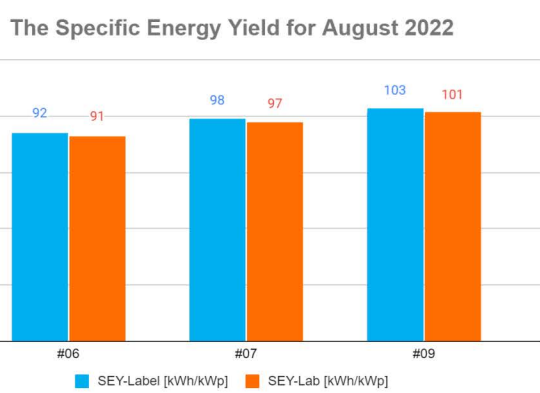
إن قيمة الكفاءة المقاسة للألواح الثلاثة كانت أقل من الكفاءة المنسوبة في ورقة المواصفات في جميع الأشهر. هذا متوقع كون الكفاءة في ورقة المواصفات تم تسجيلها في ظروف الاختبار المعياري (STC)، والتي تعد الحالة المثالية ولا تنعكس في العوامل البيئية الفعلية التي تؤثر على أداء اللوح الكهروضوئي، مثل الحرارة، والرطوبة، والرياح، والغبار، إلخ.

إن قيمة كفاءة التشتت المقاسة للألواح الثلاثة انخفضت من يوليو إلى سبتمبر، بالتواافق مع ارتفاع درجة حرارة المحيط. هذا يتواافق مع معامل الحرارة السالبي للألواح الكهروضوئية، والذي يعني أن الكفاءة تقل مع ارتفاع درجة الحرارة. لاحظنا أن تأثير الحرارة كان أكبر على العينة #7 (210 مم، من مورد ثانوي)، المصنوع بوايفر حجم (210 مم)، بالمقارنة مع العينة #6 (لوح جينكو سولار 555 واط) والعينة #9 (لوح جينكو سولار 550 واط) المصنوعة بوايفر حجم (182 مم). تتمتع رقائق الوايفر الأكبر حجماً بمقاومة درارية أكبر وقدرة أقل على تبديد الحرارة مقارنة بالرقائق الأصغر حجماً، والذي ينعكس بشكل درارة أعلى للألواح وكفاءة أقل.

إن قيمة الكفاءة المقاسة للعينة #7 (لوح جينكو سولار 210 مم، من مورد ثانوي)، والعينة #9 (لوح جينكو سولار 210 مم، من مورد ثانوي)، وهمما لوحان ثانية الوجه، كانت أعلى من الكفاءة المقاسة للعينة #6 (لوح جينكو سولار 555 واط)، وهو لوح أحادي الوجه، وذلك لكل الأشهر. يعود ذلك على أن الألواح ثنائية الوجه قادرة على التقاط كميات إضافية من الإشعاع الشمسي المنعكس عن الأرض والأسطح الأخرى بفضل الوجه الخلفي مما يزيد من إجمالي الطاقة المنتجة والكافحة. كان معامل ثانية الوجه مؤثراً أكثر للعينة #9 (لوح جينكو سولار 550 واط)، مقارنة بالعينة #7 (210 مم، من مورد ثانوي)، وذلك لأن العينة #8 تمتلك قيمة أكبر للمعامل مقارنة بالعينة #7. لكون العينة #9 تعتمد على تقنية خلايا TopCon من نوع N من إنتاج جينكو سولار، والتي تمتلك معامل ثانية الوجه أعلى من العينة #7، والتي تعتمد على تقنية خلايا PERC من نوع P.

◀ 5.2 الإنتاجية النوعية

تعبر الإنتاجية النوعية عن النسبة بين قدرة اللوح في الواقع وقدرة اللوح المقاسة عند شروط الاختبار المعيارية (STC). يوضح الشكل (10) مقارنة بين قيمة الإنتاجية النوعية المقاسة، والإنتاجية النوعية المسجلة في اللوحة الاسمية للألوح:



الشكل (10): الإنتاجية لشهر أغسطس

الجدول (4): الإنتاجية النوعية لشهر أغسطس

أغسطس

#09	#07	#06	
102.5	98.1	92.3	الإنتاجية النوعية وفقاً للوحدة الاسمية
100.5	96.6	91	الإنتاجية النوعية الفعالة

بعد تحليل البيانات في الشكل (10) والجدول (4) وجدنا ما يلي:

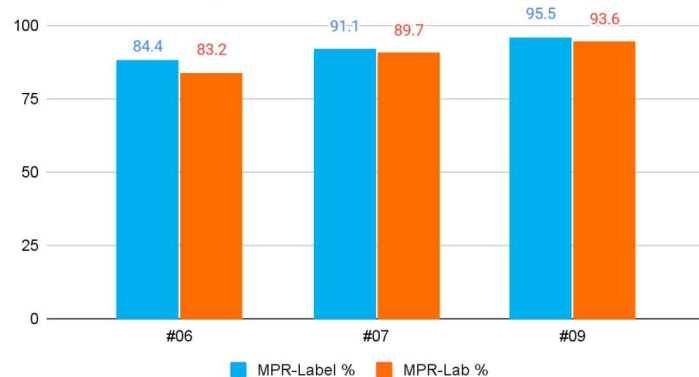
- كانت قيمة الإنتاجية النوعية للعينة #7 (لوح جينكو سولار 550 واط)، ألوان ثنائية الوجه، أعلى من قيمة الإنتاجية النوعية للعينة #6 (لوح جينكو سولار 555 واط)، لوح أحادي الوجه. يعود ذلك لأن الألواح ثنائية الوجه قادرة على التقاط كمية أكبر من الإشعاع الشمسي بفضل قدرة الوجه الخلفي على التقاط الإشعاع المنعكس من مختلف الأسطح، مما يزيد من الطاقة المنتجة والإنتاجية النوعية. كانت قيمة معامل ثنائي الوجه أكثر تأثيراً للعينة #9 (لوح جينكو سولار 550 واط) بالمقارنة مع العينة #7 (لوح جينكو سولار 550 واط)، وذلك لأن قيمة معامل ثنائي الوجه للعينة #9 أكبر من العينة رقم #7. العينة رقم #9 تضم خلية TopCon PERC نوع N+ بمعامل ثنائي الوجه أكبر من العينة #7 والتي تعتمد على خلايا PERC من نوع P.

5.3 معامل أداء اللوح

يعبر معدل أداء اللوح الكهروضوئية عن القدرة الفعلية منسوبة إلى القدرة المعيارية للوح وفقاً لشروط الاختبار المعيارية (STC)، عبر عنها كنسبة مئوية. يعبر معدل أداء اللوح عن أداء اللوح في الظروف الفعلية بالمقارنة بالقيم الاسمية في الظروف المثالية. كلما كانت قيمة معدل أداء اللوح أعلى كلما كان أكثر العوامل البيئية على أداء اللوح أقل.

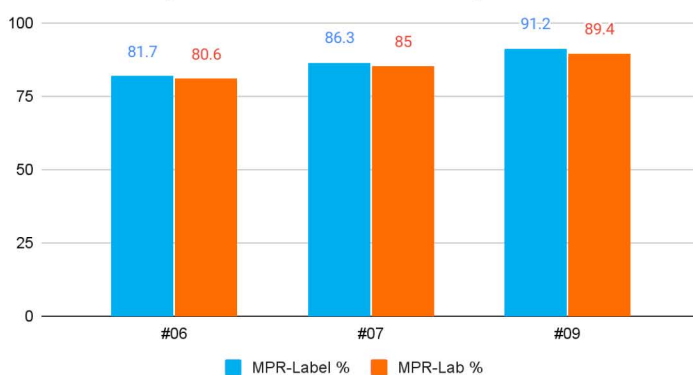
يوضح الشكل (11) أدنى مقارنة بين قيمة معامل أداء اللوح المقاسة وقيمة معامل أداء اللوح وفقاً للوحدة الاسمية للألواح الكهروضوئية الثلاثة لكل شهر

Module performance ratio for July 2022



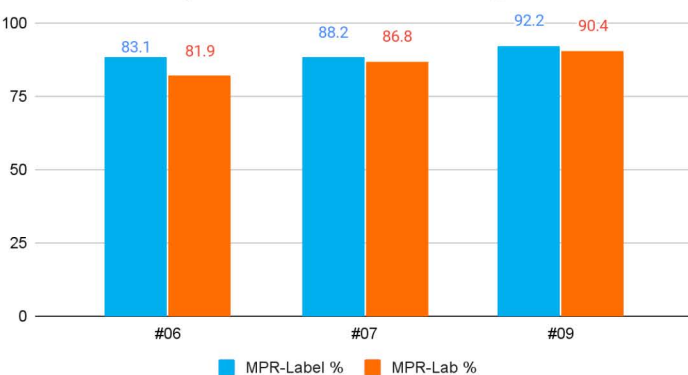
(1) معامل الأداء لشهر يوليو

Module performance ratio for September 2022



(3) معامل الأداء لشهر سبتمبر

Module performance ratio for August 2022



(2) معامل الأداء لشهر أغسطس

الشكل (11): معامل الأداء لأشهر (1) يوليو، (2) أغسطس، (3) سبتمبر



الجدول (5): معامل الأداء للعينات لأشهر يوليو، أغسطس، وسبتمبر

										معامل الأداء وفقاً للوحدة الاسمية %
سبتمبر					أغسطس			يوليو		معامل الأداء المقصوص %
#09	#07	#06	#09	#07	#06	#09	#07	#06		
91.2	86.3	81.7	92.2	88.2	83.1	95.5	91.1	84.4		
89.4	85	80.6	90.4	86.8	81.9	93.6	89.7	83.2		

بعد تحليل البيانات في الشكل (11) والجدول (5) وجدنا ما يلي:

معدل أداء اللوح المقاس للألواح الثلاثة كان أقل من قيمة معدل الأداء في ورقة مواصفات اللوح لكل الأشهر. هذا متوقع لكون معدل أداء اللوح في ورقة المواصفات مسجل في شروط الاختبار المعيارية (STC) والتي تعد الظروف المثالية ولا تعكس العوامل البيئية الفعلية التي تؤثر على أداء اللوح كالدرارة، والرطوبة والرياح، والغبار، إلخ.

انخفضت قيمة معدل أداء الألواح الثلاثة في الأشهر من يوليو إلى سبتمبر، بالتواافق مع ازدياد درجة حرارة الجو. وهذا متواافق مع معامل الحرارة السلبي للألواح الكهروضوئية والذي يعني أن كفاءة الألواح تنخفض مع ازدياد درجة الحرارة. ظهر تأثير الحرارة بشكل أكبر على العينة #7 (210 مم، من مورد آخر) بالمقارنة مع العينة #6 (لوح جينكو سولار 555 واط) والعينة #9 (لوح جينكو سولار 550 واط) ذو الوايفير بقياس (182 مم). يتمتع الوايفير الأكبر بجهاز مقاومة درارية أكبر وقدرة أقل على تبديد الحرارة بالمقارنة مع الوايفير الأصغر منها، والذي يعني ارتفاع درارة اللوح ومعدل أداء اللوح أقل.

قيمة معدل الأداء المقاسة للعينة #7 (210 مم، من مورد آخر) والعينة #9 (لوح جينكو سولار 550 واط)، والتي هي ألواح ثنائية الوجه، وكانت أعلى من القيمة المقاسة لمعدل أداء اللوح للعينة #6 (لوح جينكو سولار 555 واط)، والذي هو لوح أحادي الوجه، وذلك لكل الأشهر. كان تأثير معامل ثنائي الوجه أكبر للعينة #9 (لوح جينكو سولار 550 واط) بالمقارنة مع العينة #7 (210 مم، من مورد آخر)، وكانت العينة #9 تمتلك معامل ثنائي وجه أعلى من العينة #7.

5.4 متغيرات التدسين



استخدمنا العينة #6 كنقطة الأساس لقياس متغيرات التدسين للعينات الأخرى (#7 و #9)، في أشهر مختلفة (يوليو، أغسطس، سبتمبر). قمنا بدراسة نسبة الكفاءة، الإنتاجية، معامل الأداء لكل عينة مقارنة بالعينة #6، وتمكننا من الحصول على النتائج التالية:

الجدول (6): التدسين في الكفاءة، الإنتاجية، ومعامل الأداء للوح

تحسين الكفاءة

العينة #9	العينة #7	العينة #6	الشهر
7.94%	3.85%	0 %	يوليو
7.10%	2.23%	0 %	أغسطس
8.38%	1.70%	0 %	سبتمبر

تحسين الإنتاجية

العينة #9	العينة #7	العينة #6	الشهر
12.54%	7.82%	0 %	يوليو
10.44%	6.15%	0 %	أغسطس
11.06%	5.65%	0 %	سبتمبر

معدل أداء اللوح

العينة #9	العينة #7	العينة #6	الشهر
12.50%	7.81%	0 %	يوليو
10.38%	5.98%	0 %	أغسطس
10.92%	5.46%	0 %	سبتمبر

يظهر الجدول 6 أن العينة #6 أظهرت تحسّن في الكفاءة أعلى مقارنة مع العينة #7 والعينة #9 في الأشهر الثلاثة. تدعم هذه النتائج الافتراض الأساسي المُسبق بأن العينة #9 هي الخيار الأفضل.

يشير الأداء الثابت للعينة #9 عبر جميع المقاييس الثلاثة للكفاءة والإنتاجية، ومعدل أداء اللوح إلى التفوق الكبير بالمقارنة مع بقية العينات، والأمر الذي يعني أن الخصائص والاختلافات للعينة #9 تساهم بشكل إيجابي بأدائها في كل المعايير المقاسة.

6. الخلاصة والنتائج

6.1 النتائج

تتمتع الألواح الكهروضوئية ثنائية الوجه بكفاءة، والإنتاجية النوعية، ومعدل أداء أعلى من الألواح أحادية الوجه بما يفوق الـ 10% وذلك بسبب قدرتها على التقاط إشعاع كهروضوئي إضافي منعكس عن الأرض ومتعدد الأسطح عبر الوجه الخلفي. من بين الألواح ثنائية الوجه، يتمتع لوح جينكو سولار 555 واط (182 مم) بأداء أفضل من الألواح (210 مم من مورد آخر)، وذلك بسبب ارتفاع معامل ثانوي الوجه وانخفاض معامل الحرارة.

أظهرت النتائج أن العينة المصنعة باستخدام الوايفر كبيرة الدجم حازت على معدلات كفاءة أقل ومعدل أداء أقل من الوايفر الأصغر جنماً تحت ظل نفس الشروط القاسية، وذلك بسبب ارتفاع معامل الكفاءة الحرارية وتبريد الحرارة الأقل، والذي ينعكس بشكل دراية أعلى للوح وقدرة أقل. الألواح 210 مم من مورد آخر أداؤها أقل من ألواح جينكو سولار 555 واط (182 مم)، وذلك بسبب ارتفاع معامل الحرارة وانخفاض معامل ثانوي الوجه.

اللوح الأكبر ذو القدرة الأكبر لا يعني بالضرورة أداءً أفضل، عند اختيار اللوح الشمسي المناسب لمشروع معين، يجب النظر إلى عدة عوامل أخرى غير القدرة والدجم، مثل معامل الحرارة والكفاءة وقابلية المواد الصديقة BOM ومعاملات التقادم. فهذه العوامل تحدد مدى تأثر اللوح بالظروف المناخية ومدى استمرارته في توليد الكهرباء بكفاءة عالية. وبالتالي، تساهمن في تقليل الكلفة المتوازنة لتوليد الكهرباء LCOE وزيادة جدوى المشروع على المدى الطويل.

مما لا شك فيه، تقنية التوب-كون أثبتت التقنية المعتمدة عالمياً لأنها تتفوق على تقنية البريك في الكفاءة والثبات، خاصة في البيئات الحارة مثل السعودية. ولكن لا تتساوى جميع الألواح الشمسية التي تستخدم تقنية التوب-كون في الأداء، فقد رأينا اختلافات بين لوحين من نفس التقنية من حيث قدرة عاليه على الاعتمادية والموثوقية في السعودية، حيث حققت نتائج ممتازة في مشاريع استمرت لأكثر من سنتين.

أثبتت ألواح جينكو بتقنية التوب-كون أحادية الوجه أداءً ممتازاً على الرغم من الحرارة العالية في الموقع مع العلم أن جينكو هي الشركة الوحيدة في العالم التي استطاعت تصنيع ألواح أحادية الوجه بطبقة خلفية بلستيكية وتقديمها للسوق منذ أكثر من سنتين. وبالتزامن مع هذا الاختبار تم إجراء اختبارات للألواح أحادية وثنائية الوجه بظروف قاسية تساوي ثلاثة أضعاف المعايير الدولية.

◀ 6.2 التداعيات والآثار

اختيار نوع اللوح الكهروضوئي المناسب هو أمر أساسي لتعظيم الاستفادة من الطاقة الشمسية واستخدامها في ظل الظروف المناخية القاسية. يمكن للألواح الكهروضوئية ثنائية الوجه أن تقدم إنتاجية أعلى وتكلفة متوازنة لإنتاج الكهرباء LCOE أقل من الألواح أحادية الوجه في المواقع ذات معامل إضاءة أعلى وإشعاع منذر.

يمكن للألواح بوايفر أصغر حجمًا أن تتمتع بكفاءة أعلى ودورة حياة أطول مقارنةً بالوايفر الأكبر حجمًا في المواقع حيث درجة حرارة المحيط مرتفعة وضغط ميكانيكي عالي.

اختيار قائمة المواد الصديقة BOM أثناء اختيار اللوح الكهروضوئي أمر مدوري في ضمان أداء طويل الأمد وموثوقية اللوح. تضمن قائمة المواد BOM نوع وجودة المواد المستخدمة في تصنيع اللوح الكهروضوئي، مثل الخلايا الشمسية، والتغليف، والطبقة الخلفية، والزجاج، وعلبة التوصيلات. يمكن لهذه المواد أن تؤثر على معدل تقادم اللوح وقدرة اللوح طوال فترة حياته. لذلك، من المهم اختيار المواد القادرة على مقاومة العوامل البيئية الصعبة كالحرارة، والرطوبة، والأشعة فوق البنفسجية، والرياح.

تطبيق هذه النتائج لظروف السعودية، والتي تصنف بمتلاكها لإشعاع شمسي عالي، ودرجة حرارة عالية، ورطوبة منخفضة، وأمطار قليلة، وسرعة رياح معتدلة، ويمكننا أن نقول أن الألواح الكهروضوئية ثنائية الوجه بحجم وايفر صغير مناسبة أكثر وأفضل من الألواح أحادية الوجه بحجم وايفر أكبر لتوليد الكهرباء من الطاقة الشمسية في المنطقة. يمكن للألواح ثنائية الوجه بوايفر صغير أن تنتج كمية أكبر من الطاقة وتتمتع بمعدل تقادم أقل من الألواح أحادية الوجه بوايفر كبير في ظروف المملكة العربية السعودية المناخية، وبالتالي تكلفة متوازنة أقل للكهرباء LCOE وعائد استثماري أكبر.



7. المراجع

1. TÜV Rheinland Solar GmbH. (2023). Field test data analysis report-Saudi Arabia Retrieved October 10, 2023 from TÜV Rheinland Solar GmbH
2. Al Garni, H. Z. (2022). The impact of soiling on PV module performance in Saudi Arabia. *Energies*, 15(21), 8033-8057
3. Solarabic. (2023). KSA Solar PV market study 2023. Retrieved October 10, 2023 from Solarabic
4. Figgis, Benjamin, et al. "PV soiling in dry climates: causes, impacts and solutions." *Energy Procedia*, vol. 162, 2019, pp. 3-10
5. Jones, Russell K., Abdulaziz Baras, Abdullah Al Saeeri, Ayman Al Qahtani, Ahmed O. Al Amoudi, Yousef Al Shaya, Maher Alodan, and Shafi Ali Al-Hsaini. "Optimized Cleaning Cost and Schedule Based on Observed Soiling Conditions for Photovoltaic Plants in Central Saudi Arabia." *IEEE Journal of Photovoltaics* 6, no. 3 (2016): 730-738
6. PVsyst SA. (n.d.). Meteorological data. Retrieved October 10, 2023, from PVsyst
7. Reprinted from *Solar Energy*, 107, Said, Syed A.M., et al., Fundamental studies on dust fouling effects on PV module performance, 332., Copyright (2014), Elsevier
8. SolarGIS Ltd. (n.d.). The photovoltaic power potential of Saudi Arabia. Retrieved October 10, 2023, from SolarGIS Ltd